

تعیین معیارهای زیستی نشان‌دهنده تنش آلودگی هوا بر درخت چنار (*Platanus orientalis L.*)

زینب رفیعی^۱، نورالله میرغفاری^{۲*} و سید حمید متین خواه^۳

۱. کارشناس ارشد، دانشکده مهندسی منابع طبیعی، دانشگاه صنعتی اصفهان

۲. دانشیار دانشکده مهندسی منابع طبیعی، دانشگاه صنعتی اصفهان

۳. استادیار دانشکده مهندسی منابع طبیعی، دانشگاه صنعتی اصفهان

(تاریخ دریافت: ۱۳۹۱/۸/۱۵ – تاریخ تصویب: ۱۳۹۲/۶/۱۶)

چکیده

افزایش نیاز به انرژی به همراه رشد اقتصادی و صنعتی شدن سبب افزایش آلودگی هوا در شهرهای بزرگ ایران شده است. آلودگی هوا با برهم‌زدن حالت پایدار سلول‌های در معرض آن به گیاهان آسیب وارد می‌سازد. در این پژوهش، معیارهای گوناگون نشان‌دهنده تنش آلودگی هوا در سطوح مختلف شامل بیوشیمی سلول، برگ و کل تاج در درخت چنار اندازه‌گیری شد و ارتباط آن‌ها با غلظت آلاینده‌های هوا شامل ازن، اکسیدهای نیتروژن، دی‌اکسیدگوگرد، مونوکسیدکربن و ذرات معلق بررسی شد. نتایج مطالعه نشان داد غلظت کلروفیل‌های آ و ب در برگ چنار با افزایش غلظت ازن در هوا کاهش می‌یابد. در پاییز کلروفیل آ و کلروفیل ب با مونوکسیدنیتروژن همبستگی معنادار منفی (به ترتیب $r=-0.69$ و $r=-0.72$) نشان داد. در بهار، سطح ویژه برگ با ازن و دی‌اکسید نیتروژن همبستگی معنادار مثبت ($P<0.05$) و با مونوکسیدکربن همبستگی معنادار منفی ($P<0.1$) نشان داد. هیچ‌یک از ضرایب همبستگی بین شفافیت تاج و آلاینده‌های هوا معنادار نشست. اما نسبت مساحت تاج در تابستان با آلاینده دی‌اکسیدنیتروژن همبستگی معنی دار ($P<0.05$) مثبت نشان داد. شاخص سطح ویژه برگ معیار مناسبی از تماس گیاه با آلاینده‌های مختلف هوا خصوصاً در فصل بهار بود. علاوه بر آن، نسبت مساحت تاج بهتر از شفافیت تاج به آلودگی پاسخ داد و می‌تواند معیار مناسبی از تأثیر آلاینده دی‌اکسیدنیتروژن بر درخت چنار باشد. این شاخص بهدلیل آسانی و سرعت اندازه‌گیری آن به وسیله دوربین عکاسی دیجیتال معمولی و نرم‌افزارهای پردازش تصویر موجود از پتانسیل بالایی برای کاربرد در مطالعات مربوط به آسیب انواع تنش‌ها بر درختان برخوردار است.

کلیدواژگان: آلودگی هوا، بی‌برگ‌شدگی تاج، چنار، سطح ویژه برگ، کلروفیل.

و همکاران (2011) محتواهای کلروفیل در برگ‌های باقلای هندی^۳ را که از مناطق با سطوح مختلف غلظت آلاینده‌های دی‌اسید‌گوگرد، دی‌اسید‌نیتروژن و PM₁₀ در شهر اودایپور هند جمع‌آوری شده بود، مقایسه کردند.

سطح ویژه برگ که یکی از ویژگی‌های ریخت‌شناسی برگ است. از تقسیم مساحت برگ به وزن خشک آن به دست می‌آید. سطح ویژه برگ (SLA)^۴ به دلیل هزینه اندک و سادگی اندازه‌گیری آن، شاخص مهمی در مطالعات پایش آلودگی هوا در مقیاس مکانی بزرگ به وسیله گیاهان به‌شمار می‌رود. برای مثال، Balasooriya و همکاران (2009) قابلیت سطح ویژه برگ در مطالعات پایش آلودگی هوا در مقیاس مکانی بزرگ را با انتخاب ۱۴۸ نقطه نمونه‌برداری در چهار کلاس کاربری زمین در شهر گنت بلژیک و جمع‌آوری نمونه‌های برگی از گونه‌های علفی فراوان در منطقه یعنی گل قاصد^۵ بررسی کردند. علاوه بر گیاهان علفی، تغییرات سطح ویژه برگ در درختان نیز گاهًا برای پایش زیستی آلودگی هوا در شهرها و مناطق آلوده به کار می‌رود. Carreras و همکاران (1996) تغییرات سطح ویژه برگ در برگ نو را با سطح ترافیک در مناطق مختلف شهر کوردوبا در آرژانتین مرتبط دانستند. در مطالعه‌ای مشابه، Gratani و همکاران (2000) صفات ریخت‌شناسی برگ بلوط لوب‌دار^۶ از جمله سطح ویژه برگ و ضخامت برگ را در پاسخ به سطوح مختلف ترافیک در شهر روم را بررسی کردند. Nikula و همکاران (2011) دریافتند سطح ویژه برگ در کبوته^۷ با فاصله از خیابان افزایش می‌یابد. Alves و همکاران (2008) برگ‌های اوژنیا^۸ در شهر سانتاپائولو را با منطقه‌ای روستایی مقایسه کردند و دریافتند برگ‌های شهری کوچک‌تر و نازک‌تر از برگ‌های روستایی هستند؛ اما در شهر پارانشیم اسفنجی برگ درختان روییده در حاشیه خیابان ضخیم‌تر از برگ درختان پارک است.

3. *Pongamia pinnata*

4. Specific Leaf Area

5. *Taraxacum officinalis*

6. *Quercus ilex*

7. *Populus tremula Michx*

8. *Eugenia uniflora*

۱. مقدمه

آلودگی هوا با برهمنزدن حالت پایدار سلول‌های در معرض آن به گیاهان آسیب وارد می‌سازد. آلاینده‌های مختلف هوا از راههای متفاوت به آسیبدیدگی گیاه منجر می‌شوند. پس از ورود به برگ، ازن با لایه مرتبط سطح سلول‌های پارانشیمی درون اتاقک زیر روزنه یعنی آپوپلاست واکنش داده و تولید رادیکال‌های آزاد مانند هیدروپروکسید (HO[·]) و سوپر اکسید (O₂[·]) می‌کند. HO[·] موجب پراکسایش لیپیدها می‌شود و رادیکال هیدروکسیل به اجزای غشای سیتوپلاسمی حمله می‌کند (Longe & Naidu, 2002). آلاینده‌های دیگر مانند دی‌اسید‌گوگرد و دی‌اسید‌نیتروژن علاوه بر اکسیداسیون با تغییر pH و تداخل در متابولیسم عناصر غذایی گوگرد و نیتروژن، تعادل متابولیکی سلول‌ها را برهم می‌زنند. در حالی که آلاینده‌ذرات معلق بیشتر از راه فیزیکی و با مسدود‌کردن روزنه و به مقدار کمتر از راه شیمیایی به گیاه آسیب وارد می‌سازد (Bell & Treshow, 2003). پاسخ گیاه به تنفس آلودگی هوا به دو صورت است: یا گیاه آلاینده را در خود تجمع می‌دهد و یا در اثر تنفس آلودگی از خود علائم ویژه نشان می‌دهد. این علائم بسته به نوع آلاینده، غلظت آن، گونه، شرایط فیزیولوژیکی و سن گیاه متفاوت است (Bell & Treshow, 2003). در مقابل، این علائم نشان‌دهنده وجود تنفس آلودگی هوا در گیاه است. شاخص‌های مختلفی برای نشان‌دادن تنفس آلودگی هوا در درختان به کار می‌رود. عیب عمده این شاخص‌ها اختصاصی نبودن و تأثیرپذیری آن‌ها از تنفس‌های محیطی دیگر است.

کاهش غلظت کلروفیل‌ها و زردشدن برگ‌ها بر اثر تنفس آلاینده‌های هوا از همان مطالعات اولیه شناخته شده بود. Tripathi Sharma & (2009) غلظت کلروفیل در برگ‌های گونه همیشه‌سبز انجیر بنگالی و گونه برگ ریزجک^۹ را برای پایش زیستی آلاینده‌های دی‌اسید‌گوگرد، دی‌اسید‌نیتروژن و ذرات معلق در منطقه‌ای خشک و گرم در هند به کار برdenد.

1. Reactive Oxygen Species

2. *Dalbergia sisso Roxb*

برای این منظور، معیارهای گوناگون در سطوح مختلف شامل بیوشیمی سلول، برگ و کل تاج استفاده شد.

۲. مواد و روش‌ها

۱۰.۲. منطقه مطالعه شده

اصفهان سومین شهر بزرگ ایران بعد از تهران و مشهد محسوب می‌شود. این شهر یکی از بزرگ‌ترین شهرهای خشک و کمباران دنیا به حساب می‌آید. ارتفاع آن از سطح عمومی دریا حدود ۱۵۸۰ متر است. تغییر ارتفاع در بالاترین نقطه ۲۴۱۸ متر و در پایین‌ترین نقطه ۹۰۰ متر است. متوسط دمای سالیانه ۱۶/۵ سلسیوس و بارندگی متوسط سالیانه ۱۲۵ میلی‌متر است. وزش باد در اصفهان عموماً ملایم و آرام است و در تمامی فصل‌ها جریان دارد و به‌ویژه در فصل‌های بهار و پاییز بادهای غربی و جنوب غربی از مناطق کوهستانی و کمابیش در امتداد رود زاینده‌رود می‌وزد.

۱۰.۲. نمونه‌برداری

ایستگاه‌های پایش دائم کیفیت هوای شهر اصفهان شامل لاله (ابتدا خیابان پروین)، میدان بزرگمهر، میدان آزادی و میدان احمدآباد (ابتدا خیابان ولی‌عصر) است. نمونه‌برداری از برگ و عکس‌برداری از تاج سه درخت چنار در محدوده اطراف هر کدام از چهار ایستگاه پایش دائم کیفیت هوای شهر اصفهان (مجموعاً ۱۲ درخت) و در تابستان و پاییز ۱۳۸۹ و بهار ۱۳۹۰ انجام گرفت. عکس‌برداری از تاج هر دو هفته یک‌بار در طول سال (۱۳ نوبت قبل از خزان برگ و یک نوبت بعد از خزان) انجام شد. نمونه‌برداری از برگ از ارتفاع ۴ تا ۵ متر از سطح زمین و از پایین‌ترین قسمت تاج درخت در ۶ نوبت و در فصل‌های بهار، تابستان و پاییز انجام شد.

داده‌های کیفیت هوای شهر اصفهان در سال ۱۳۸۸، برای چهار ایستگاه پایش دائم شامل میدان آزادی، میدان بزرگمهر، میدان احمدآباد و میدان لاله از اداره کل محیط‌زیست اصفهان تهیه شد. این آمار به صورت هر پنج دقیقه یک‌بار و برای کل شبانه‌روز و شامل آلاینده‌های ازن، دی‌اسیدنیتروژن، دی‌اسید‌گوگرد، ذرات معلق کوچک‌تر از ۱۰ میکرومتر و مونو‌اسید‌کربن است.

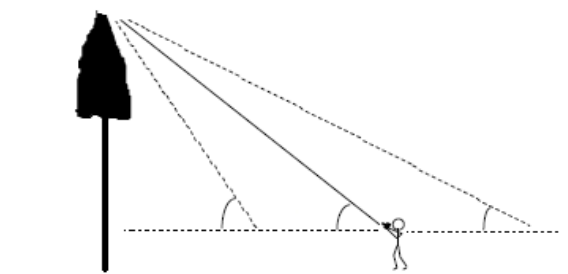
در بسیاری از کشورها، بی‌برگ‌شدگی تاج درخت به‌طور سالیانه از اواسط دهه ۸۰ به‌دلیل نگرانی‌های عمومی و سیاسی به‌دلیل کاهش وسیع جنگل‌ها بر اثر آلودگی هوا پایش می‌شود (Innes, 1993). بی‌برگ‌شدگی تاج به صورت مشاهدات به‌وسیله مشاهده‌گر آموزش‌دیده از سطح زمین و یا به صورت کمی در تصاویر تاج درخت به کمک روش‌های پردازش تصویر در غالب دو پارامتر «نسبت مساحت تاج» و Mizoue *et al.*, 2004) «شفافیت تاج» برآورد می‌شود (Lee, 2003). شفافیت تاج مقدار نسبی نور عبوریافته از تاج تعريف می‌شود و نشان‌دهنده میزان ریزش برگ‌ها (بی‌برگ‌شدگی) است (Innes, 1993). نسبت مساحت تاج در تصویر تاج درخت نسبت تعداد پیکسل‌های تاج به تعداد کل پیکسل‌های درون ناحیه تاج است (Lee, 2003).

Ozolincius و همکاران (2005) با مطالعه جنگل‌های لیتوانیا دریافت بی‌برگ‌شدگی رابطه معناداری با اسیدیتۀ باران، دی‌اسید‌گوگرد و دی‌اسیدنیتروژن نشان می‌دهد. Ferretti و همکاران (1999) کاربرد شفافیت تاج را به عنوان شاخص آلودگی هوا در جنگل‌های توسکانی مرکز ایتالیا و بر روی گونه‌های بلوط و ممرز بررسی کردند. Sanz و همکاران (2000) نتیجه گرفت در جنگل‌های مدیترانه‌ای غرب اسپانیا، لکه‌های زردبرگی حاصل از ازن بر روی سوزن‌های کاج حلب^۱ با مقدار شفافیت تاج همبستگی معنادار نشان می‌دهد. برخلاف آنچه گفته شد، تردیدهایی درباره استفاده از این شاخص وجود دارد. مثلاً مشخص شده است شفافیت تاج به‌طور طبیعی با تغییر سن درخت، ارتفاع، تنفس خشکی، مواد غذایی خاک و به احتمال زیاد قارچ‌های بیماری‌زا و حشرات Modrzynski, 2003; Badea *et al.*, 2004; Zierl, 2004.

هدف از انجام این مطالعه: (الف) بررسی پاسخ معیارهای سلامت درخت چنار (L. orientalis) به آلاینده‌های هوای شهر اصفهان و (ب) مقایسه معیارهای مختلف گیاهی و انتخاب بهترین معیار برای نشان‌دادن آسیب حاصل از آلاینده‌های هوا بود.

1. Pinus halepensis

آسمان باشد و ساختمان‌ها و سازه‌های شهری در پیش‌زمینه و پس‌زمینه تاج تداخل ایجاد نکنند، زیرا وجود این اشیا در تقسیم‌بندی تصویر مشکل ایجاد می‌کند (Service, 2002). پس از عکس‌برداری، تصاویر به رایانه منتقل شد. اولین مرحله قبل از پردازش تصاویر، حذف اشیاء و ساختمان‌های مزاحم و انتخاب محدوده تاج درخت (ROI)^۱ است (شکل ۲) (Dobbertin *et al.*, 2005).



شکل ۱. عکس‌برداری از درخت از فاصله‌ای به اندازه قامت درخت

۲.۶. شفافیت تاج (بی‌برگ شدگی)

برای اندازه‌گیری شفافیت تاج، از روش Mizoue & DSO (2004) استفاده شد. در این روش، مقادیر DSO برای هر درخت به دست می‌آید. سپس، با معادلات خاص هر گونه درختی، از مقادیر DSO مقدار شفافیت تاج به دست می‌آید. روش کار به این شرح است:

۱. ابتدا محدوده تاج (ROI) با حذف اشیای مزاحم و شاخه‌های درختان اطراف انتخاب می‌شود و هم‌زمان درجه همپوشانی با شاخه‌های درختان اطراف با استفاده از یک سیستم ۸ طبقه‌ای (بدون همپوشانی، ۲۵، ۵۰، ۷۵، ۱۰۰٪ یک طرف تاج و ۲۵، ۵۰، ۷۵٪ دو طرف تاج درخت) مشخص می‌شود (Dobbertin *et al.*, 2005).
۲. در مرحله بعدی تصاویر رنگی حاصل از مرحله قبل با استفاده از الگوریتم‌های آستانه‌یابی اتوماتیک به تصاویر دودویی تبدیل شد. تصویر دودویی حاصل تصویر محیط مرئی^۳ (شکل ۳ الف) خوانده می‌شود. با استفاده از الگوریتم‌های حاشیه‌یاب^۴ از تصویر حاصل، تصویر حاشیه^۵ (شکل ۳ ب) به دست می‌آید. تصاویر حاصل برای ادامه پردازش ذخیره می‌شود (Dobbertin *et al.*, 2005).

1. Region of Interest
2. Difference of silhouette and outline
3. Silhouette
4. Edge detection
5. Outline

۳.۲. محاسبه غلظت کلروفیل‌ها

غلظت رنگدانه‌ها در برگ به روش Lichtenthaler (1987) که اصلاح‌شده روش Arnon (1949) است اندازه‌گیری شد. مطابق این روش، $g_{\text{C}} / g_{\text{L}}$ برگ چنان با 15 ml استن ۸۰٪ درون هاون ساییده شد. سپس عصاره حاصل با دور ۴۰۰۰ سانتریفوژ شده و طیف محلول شفاف حاصل توسط طیف سنج نوری ثبت شد. فرمول‌های محاسبه غلظت کلروفیل آ و کلروفیل ب به صورت زیر است:

$$C_a (\mu\text{g} / \text{ml}) = 12 / 25 A_{663/2} - 2 / 79 A_{646/8}$$

$$C_b (\mu\text{g} / \text{ml}) = 12 / 50 A_{663/8} - 5 / 10 A_{663/2}$$

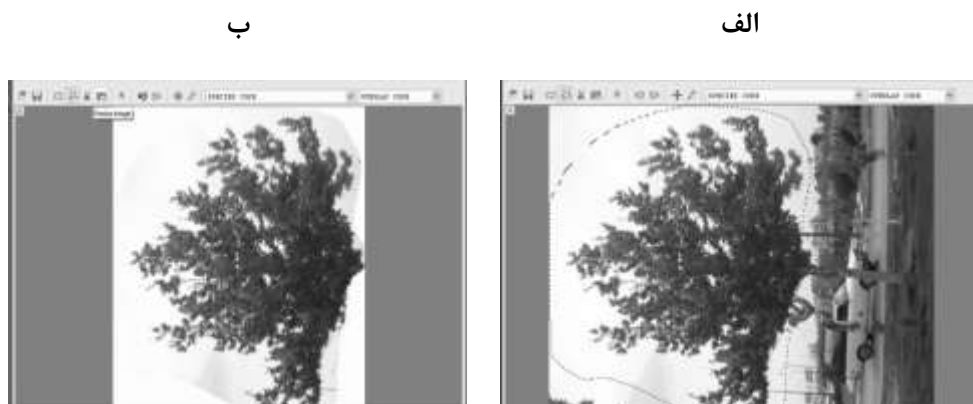
با خشک کردن $g_{\text{C}} / g_{\text{L}}$ برگ در دمای 80°C ۲۴ ساعت تا رسیدن به وزن ثابت و توزین نمونه قبل و بعد از قراردادن در آون و محاسبه درصد آب نمونه، غلظت رنگدانه‌های کلروفیل آ و ب و کل کاروتینوئیدها براساس وزن خشک محاسبه شد.

۴.۲. تعیین سطح ویژه برگ

برای اندازه‌گیری سطح ویژه برگ، یک برگ بالغ و شاداب از درخت انتخاب شد. برگ‌ها قبل از نمونه‌برداری در آب مقطور شسته شده و به وسیله پانچ از هر برگ ۱۵ قرص با مساحت یکسان از هر دو طرف رگبرگ اصلی خارج شد. قرص‌ها در 60°C به مدت h ۲۴ یعنی تا زمان رسیدن به وزن ثابت خشک شد. وزن خشک هر ۱۵ قرص به وسیله ترازوی الکترونیکی با دقیق 0.001 g اندازه‌گیری خواهد شد. درنهایت شاخص SLA برای هر برگ از تقسیم مساحت بر وزن مربوط به دست آمد (Kardel *et al.*, 2010).

۵.۲. عکس‌برداری از تاج

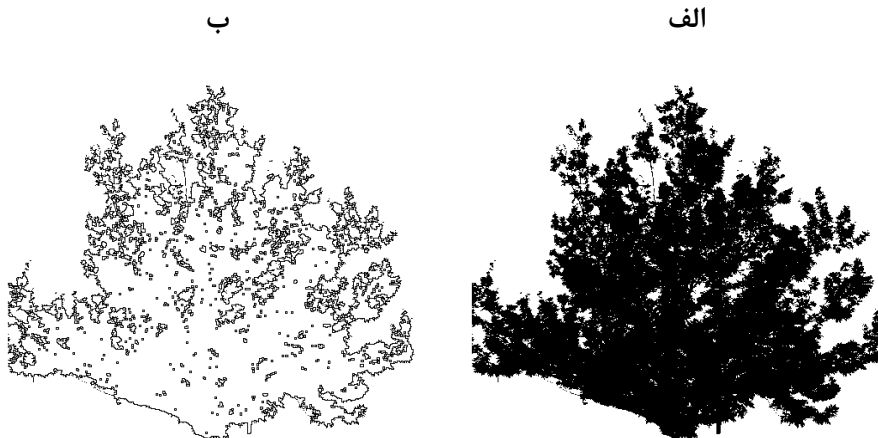
تصاویر تاج درخت توسط دوربین عکاسی دیجیتال (برای این مطالعه، تنظیمات اتوماتیک فعال شد)، از نزدیک زمین و به فاصله‌ای از قاعده درخت به اندازه قامت درخت گرفته شد (شکل ۱). بهترین زمان برای عکس‌برداری زمانی است که خورشید در زاویه‌ای بیش از 30° درجه با خط افق قرار گرفته باشد. بدترین مکان قرارگیری خورشید مستقیماً پشت درخت است. عکس‌برداری از جهتی انجام شد که زمینه تصویر



شکل ۲. انتخاب ناحیه تاج (الف) و حذف نواحی مزاحم (ب)

Mizoue & Dobbertin (2004) ایده اصلی روش (2004) برای محاسبه شفافیت تاج (یا بی‌برگ‌شدگی)، بیشتر بودن ناحیه تاج (D_s) نسبت به خطوط تشکیل‌دهنده حاشیه آن (D_0) در تاج‌های متراکم نسبت به تاج‌های بی‌برگ‌شده است (Dobbertin, 2004).

۳. در این مرحله، ابعاد جزئی^۱ برای تصاویر محیط مرئی (D_s) و حاشیه (D_0) و تفاوت این دو (DSO) محاسبه می‌شود. با استفاده از این تفاوت‌ها و توابع رگرسیون برآشده شده DSO در مقابل مقادیر شفافیت تاج حاصل از عکس‌های راهنمای استاندارد، مقدار شفافیت تاج برای هر تصویر محاسبه می‌شود (Dobbertin et al., 2005).



شکل ۳. تصویر محیط مرئی (الف) و تصویر حاشیه حاصل از الگوریتم‌های Mizoue & Dobbertin (2004) (ب)

پردازش تصویر^۲ انجام شد:

۱. ابتدا تصویر محدوده تاج (ROI) به کمک تابع زیر در محیط برنامه MATLAB باز شد.
 $\text{RGB} = \text{imread}(\text{filename}, \text{fmt})$

و با استفاده از توابع زیر آستانه‌یابی شده به تصویر دودویی تبدیل شد.

2. Image processing toolbox

۷.۲. نسبت مساحت تاج

نسبت مساحت تاج، نسبت تعداد پیکسل‌های تاج به تعداد کل پیکسل‌های درون ناحیه تاج است (Lee et al., 2003). برای به دست آوردن این نسبت عملیات زیر به کمک برنامه MATLAB ۷/۶ و جعبه ابزار

1. Fractal dimentions

۳. نتایج

تغییرات غلظت آلاینده‌های هوا در سال ۱۳۸۸ در ایستگاه‌های مختلف نمونه‌برداری و در مقایسه با استانداردهای موجود در شکل ۴ آمده است. میانگین غلظت دی‌اکسید‌گوگرد در ایستگاه‌های بزرگمهر و آزادی بیشتر از ایستگاه‌های لاله و احمدآباد است. غلظت ازن و دی‌اکسیدنیتروژن در ایستگاه لاله نسبت به ایستگاه‌های دیگر بیشترین میانگین را به خود اختصاص داده است؛ درحالی‌که، غلظت مونواکسیدکربن در همین ایستگاه کمترین بود. غلظت ازن در ایستگاه لاله در حد غلظت زمینه این آلاینده یعنی ۴۰ ppb کمتر است. (Longe & Naidu, 2002)

۱.۳. غلظت کلروفیل‌ها

غلظت کلروفیل‌های آ و ب در همه ایستگاه‌ها به جز ایستگاه بزرگمهر از بهار تا پاییز روند کاهشی نشان داد. غلظت کلروفیل‌های آ و ب در ایستگاه لاله کمترین و در ایستگاه‌های آزادی و احمدآباد بیشترین میانگین را به خود اختصاص داد (جدول ۱). به‌طور مشابه، بیشترین میانگین غلظت ازن ۴۰/۱۷ در ایستگاه لاله و کمترین میانگین غلظت ازن ۳۶/۱۰ در ایستگاه احمدآباد اتفاق افتاد (شکل ۴). بنابراین، می‌توان کاهش غلظت کلروفیل در ایستگاه لاله را به آسیب حاصل از آلاینده ازن نسبت داد. در پاییز، غلظت کلروفیل آ و کلروفیل ب در بین ایستگاه‌ها تفاوت معنادار ($P < 0.05$) نشان داد. غلظت هر دو نوع کلروفیل در برگ چنار در پاییز در ایستگاه آزادی بیشینه و در ایستگاه بزرگمهر کمینه و در ایستگاه‌های لاله و احمدآباد در حد متوسط بود.

۲.۳. سطح ویژه برگ (SLA)

سطح ویژه برگ در ایستگاه‌های لاله و آزادی از بهار تا پاییز روند افزایشی داشت. اما در ایستگاه‌های بزرگمهر و احمدآباد از بهار تا تابستان افزایش و پس از آن، در پاییز کاهش یافت (جدول ۲). ایستگاه‌های لاله و آزادی کمترین غلظت آلاینده مونواکسیدنیتروژن و ایستگاه‌های بزرگمهر و احمدآباد بیشترین غلظت این

$$I = \text{rgb2gray}(RGB)$$

$$\text{Level} = \text{graythresh}(I)$$

$$BW = \text{im2bw}(I, \text{level})$$

۲. در تصویر دودویی حاصل از مرحله قبل پیکسل‌های برگ دارای ارزش صفر و پیکسل‌های آسمان دارای ارزش یک هستند. به همین دلیل ابتدا به کمک روابط جبر ماتریسی ساده، تصویر دودویی (BW)^۱ که در آن پیکسل‌های برگ ارزش صفر و پیکسل‌های زمینه ارزش یک به خود بگیرند به دست آمد. سپس تعداد کل پیکسل‌های مربوط به تاج (N_L) از تصویر دو دویی حاصل به کمک تابع زیر محاسبه شد.

$$N_L = \text{sum}(\text{sum}(BW))$$

۳. در مرحله بعدی، تصویر دودویی با استفاده از روش بسطدادن و توابع زیر به تصویر ناحیه تاج تبدیل شد.

$$se = \text{strel}('disk', 10);$$

$$Io = \text{imclose}(bw, se);$$

۴. تعداد کل پیکسل‌های ناحیه تاج (N_R) از روی تصویر حاصل از مرحله قبل مشابه مرحله دو به دست آمد. سپس، نسبت مساحت با استفاده از فرمول زیر محاسبه شد:

$$N_L/N_R = \text{نسبت مساحت}$$

۸.۲. تجزیه و تحلیل آماری

کلیه داده‌ها با استفاده از نرم‌افزار آماری SPSS تجزیه و تحلیل شد. ضرایب همبستگی پیرسون بین غلظت آلاینده‌ها و پارامترهای گیاهی محاسبه شد. اما قبل از آن نرمال‌بودن داده‌ها توسط آزمون کلموگروف-اسمیرنو آزمون شد و داده‌های غیرنرمال با استفاده از تبدیل باکس-کاکس نرمال شدند. علاوه بر آن، برای تعیین تفاوت‌های معنادار بین مناطق مختلف تجزیه واریانس (ANOVA) بر روی داده‌ها اعمال شد و هر جا ANOVA بیانگر تفاوت‌های معنادار بود، مقایسه میانگین بین جفت گروه‌ها توسط آزمون LSD انجام شد.

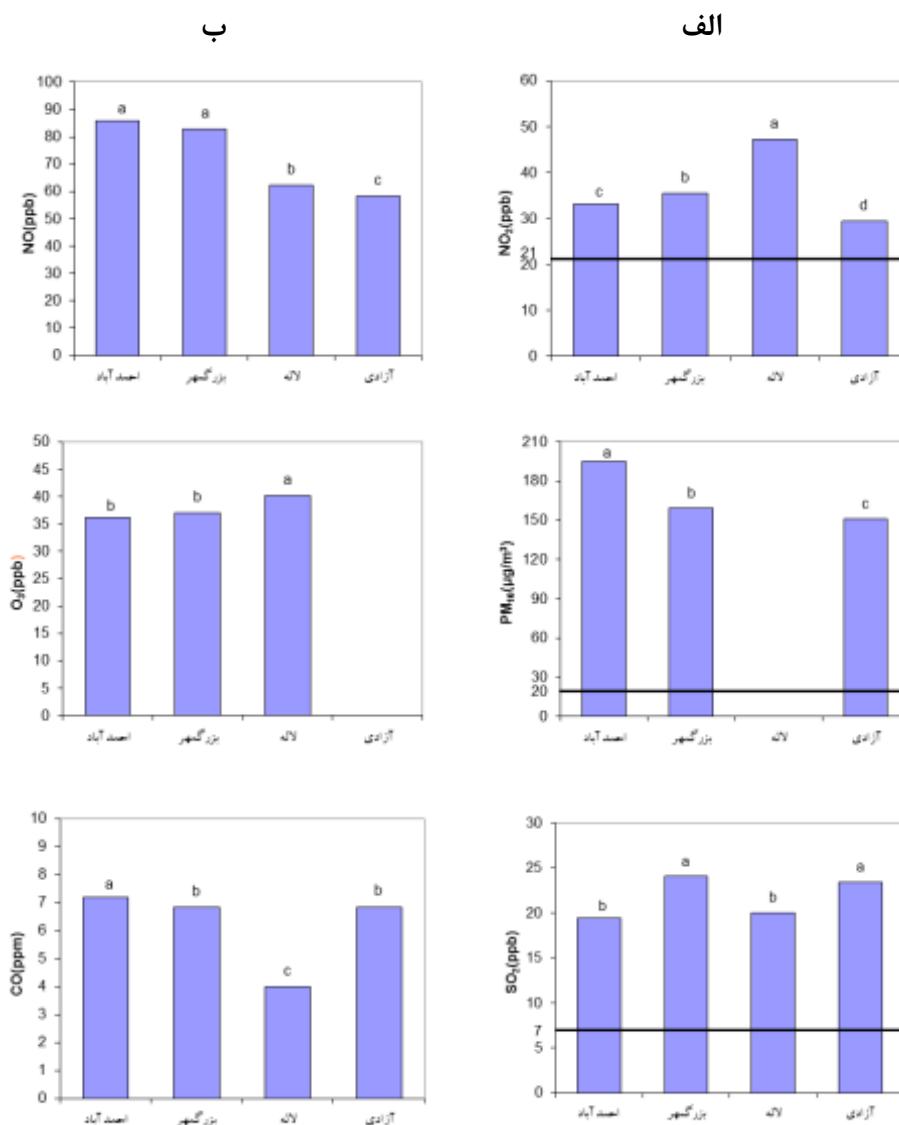
1. Binary weight

کمترین مقدار شفافیت تاج در همه ایستگاه‌ها در تابستان یعنی زمانی که رشد برگ‌ها به حداقل خود رسیده است مشاهده شد و در همه ایستگاه‌ها، مقدار شفافیت تاج در پاییز با خزان برگ افزایش یافت. تجزیه واریانس بیانگر وجودنداشتن تفاوت معنادار در مقدار شفافیت تاج بین ایستگاه‌ها بود.

آلینده را نشان می‌دهند (شکل ۴). در هیچ یک از فصول سال، سطح ویژه برگ چنار تفاوت معناداری بین ایستگاه‌های مختلف نشان نداد (جدول ۲).

۳.۳. شفافیت تاج

مقادیر مربوط به میانگین و انحراف معیار و نتایج تجزیه واریانس شفافیت تاج چنار در ایستگاه‌ها و فصول مختلف سال در جدول ۳ نشان داده شده است.



شکل ۴. غلظت میانگین آلینده‌های مختلف هوای در ایستگاه‌های نمونهبرداری برای دوره فعالیت درخت چنار در سال ۱۳۸۸ (میله‌های دارای حروف غیریکسان بیانگر وجود تفاوت معنادار در سطح 0.01 توسط آزمون مقایسه میانگین است. الف) آلینده‌های دارای استاندارد سالیانه (خط ممتد) مصوب شورای عالی حفاظت محیط‌زیست سال ۱۳۸۸ (b) آلینده‌های فاقد استاندارد سالیانه. (Ahadi et al., 2011)

جدول ۱. میانگین و انحراف معیار و نتایج تجزیه واریانس غلظت کلروفیل‌ها ($\mu\text{g}/\text{mg}$) در برگ چنار در ایستگاه‌ها و فصول مختلف

پارامتر	فصل	احمدآباد	بزرگمهر	لاله	آزادی	ANOVA
کلروفیل آ	بهار	۵۱/۲۸±۳۰/۵۸	۳۶/۴۲±۲۵/۵۴	۳۹/۰۹±۲۸/۰۴	۵۲/۸۴±۳۶/۲۵	ns
	تابستان	۳۰/۰۹±۳۵/۷۳	۴۲/۷۹±۳۲/۴۴	۲۶/۲۴±۱۴/۵۱	۲۵/۵۰±۲۹/۸۸	ns
	پاییز	۱۱/۰۶±۶/۳۹ ^{ab}	۹/۱۹±۸/۲۰ ^b	۱۶/۱۸±۵/۷۲ ^{ab}	۲۲/۰۲±۷/۱۸ ^a	P<۰/۰۵
کلروفیل ب	بهار	۳۰/۲۷±۲۱/۹۸	۶/۴۰±۲۳/۶۱	۱۸/۴۶±۱۴/۷۵	۲۶/۵۷±۲۲/۲۰	ns
	تابستان	۱۸/۴۳±۲۰/۵۳	۳۰/۳۹±۲۶/۱۰	۱۳/۸۷±۸/۷۶	۱۵/۳۴±۲۰/۱۵	ns
	پاییز	۶/۵۶±۴/۴۶ ^b	۶/۵۶±۴/۴۷ ^{ab}	۱۰/۵۶±۳/۴۷ ^{ab}	۱۳/۷۳±۵/۷۷ ^a	P<۰/۰۵

ns غیرمعنادار؛ اعداد درون هر سطر با حروف یکسان تفاوت معناداری در سطح ۰/۰۵ توسط آزمون مقایسه میانگین‌ها نشان نمی‌دهند.

منفی (P<۰/۰۵) نشان داد. هیچ‌یک از ضرایب همبستگی بین شفافیت تاج و آلاینده‌های هوا معنادار نشد (جدول ۵). اما نسبت مساحت تاج در تابستان با آلاینده دی‌اکسید نیتروژن همبستگی معنادار (P<۰/۰۵) مثبت نشان داد.

۵.۳. ارتباط بین آلاینده‌های هوا و پارامترهای گیاهی
ضرایب همبستگی بین پارامترهای اندازه‌گیری شده بیانگر آن است که کلروفیل آ و کلروفیل ب با همبستگی معنادار مثبت و با شفافیت تاج همبستگی معنادار منفی در سطح ۱ درصد نشان دادند (جدول ۶). با خزان و ریزش برگ (افرایش شفافیت تاج) محتوای رنگدانه‌ها کاهش می‌یابد. نسبت مساحت با سطح ویژه برگ همبستگی مثبت و با شفافیت تاج همبستگی منفی نشان داد (جدول ۶). بدیهی است که هر چه نسبت مساحت افزایش یابد، شفافیت تاج کمتر می‌شود.

۴.۳. نسبت مساحت تاج

جدول ۴ نتایج تجزیه واریانس نسبت مساحت تاج را نشان می‌دهد. نسبت مساحت تاج در بهار بین ایستگاه‌ها تفاوت معنادار نشان داد. نسبت مساحت تاج در ایستگاه لاله ۸۱/۵۹ درصد و در ایستگاه بزرگمهر ۷۲/۹۱ درصد بهتر ترتیب بیشترین و کمترین میانگین بین ایستگاه‌ها را به خود اختصاص داد.

۵.۴. ارتباط بین آلاینده‌های هوا و پارامترهای گیاهی
برای تعیین اثر آلاینده‌های هوا بر معیارهای سلامت درخت چنار، آنالیز همبستگی بر روی داده‌های نرمال اعمال شد (جدول ۵). در پاییز کلروفیل آ و کلروفیل ب با NO همبستگی معنادار منفی (بهتر ترتیب r=-۰/۶۹ و r=-۰/۷۲) نشان داد. در بهار، سطح ویژه برگ با ازن و دی‌اکسید نیتروژن همبستگی معنادار مثبت (P<۰/۰۵) و با مونو‌اکسید کربن همبستگی معنادار

جدول ۲. میانگین و انحراف معیار و نتایج تجزیه واریانس سطح ویژه برگ چنار (cm^2/g) در ایستگاه‌ها و فصول مختلف

ایستگاه	بهار	تابستان	پاییز	ANOVA
احمدآباد	۵۱/۱۹±۱۱/۱۵۴	۶۰/۲۳±۵۹/۱۶۶	۲۶/۲۰±۶۷/۱۵۷	ns
بزرگمهر	۱۴/۲۱±۴۲/۱۵۳	۵۳/۱۰±۰۶/۱۴۰	۸۰/۲۰±۲۳/۱۲۴	ns
لاله	۴۹/۳۵±۳۶/۱۹۴	۰۰/۳۴±۲۱/۱۵۹	۵۲/۲۳±۷۸/۱۴۴	ns
آزادی	۷۷/۲۱±۶۵/۱۶۵	۴۴/۱۶±۶۹/۱۵۶	۴۸/۲۴±۳۰/۱۴۹	ns

ns غیرمعنادار

جدول ۳. میانگین و انحراف معیار و نتایج تجزیه واریانس شفافیت تاج چنار در ایستگاه‌ها و فصول مختلف

ایستگاه	بهار	تابستان	پاییز	
احمدآباد	۳۲/۵۶±۱۷/۵۴	۱۷/۱۸±۱۰/۰۱	۳۲/۱۳±۸/۳۲	
بزرگمهر	۳۷/۲۷±۱۹/۰۸	۲۱/۸۲±۱۲/۷۹	۳۴/۱۳±۱۱/۸۲	
لاله	۳۳/۱۱±۲۳/۵۹	۲۵/۲۸±۷/۴۳	۳۶/۷۵±۱۱/۳۴	
آزادی	۳۰/۱۸±۲۰/۱۷	۲۲/۰۰±۹/۷۹	۳۵/۵۴±۷/۳۶	
ANOVA	ns	ns	ns	غیرمعنادار

کلروفیل آ و کلروفیل ب در پاییز با افزایش غلظت مونوآکسیدنیتروژن در هوا روند کاهشی نشان داد. بنابراین، می‌توان نتیجه‌گیری کرد نیتروز اکسید تأثیر منفی بر غلظت کلروفیل‌ها در برگ می‌گذارد. احتمالاً مکانیسم اثر این آلاینده بر گیاه از طریق القای تولید اتیلن است. مشخص شده است غلظت‌های کم مونوآکسیدنیتروژن در حد ppb منجر به القای خزان زودهنگام در برگ می‌شود (Procházková & Wilhelmová, 2011). همان‌طور که قبلًا ذکر شد اتیلن موجب فعال شدن ژن‌های خزان و تخریب رنگدانه‌ها می‌شود (Sarwat, in press). مکانیسم آسیب دیگر احتمالاً از طریق تخریب کلروفیل به‌دلیل اسیدی شدن برگ بر اثر مونوآکسیدنیتروژن است. آلاینده NO_x که از روزنے عبور می‌کند و به اتفاقک زیر روزنے وارد می‌شود در لایه مرتبط سطح سلول‌ها یعنی آبپلاست حل شده و به اسیدنیتریک و اسیدنیتروز تبدیل می‌شود. (Bell & Treshow, 2003). سپس، این NO_3^- و NO_2^- به همراه NH_4^+ تبدیل و در ساخت اسیدهای آمینه استفاده می‌شود. این واکنش‌ها موجب تغییر pH سلول می‌شود (Chaparro-Suarez & Kesselmeier, 2011). پژوهش‌ها نشان داده است کلروفیل به اسیدیته بسیار حساس است و یون Mg^{2+} مولکول کلروفیل در محیط اسیدی به‌وسیله H^+ جایگزین شده و منجر به تخریب کلروفیل به فئوفین می‌شود (Thimann, 1983). ارتباط اندک کلروفیل آ و ب با آلاینده‌های هوا (جدول ۶) نشان می‌دهد رنگدانه‌ها با غلظت آلاینده‌ها در هوای شهر اصفهان ارتباط کمی نشان می‌دهد. به نظر می‌رسد تنش‌های دیگر به‌جز آلودگی هوا (مانند

۴. بحث و نتیجه‌گیری

۱.۴. کلروفیل‌ها

نتایج این مطالعه نشان داد غلظت کلروفیل‌های آ و ب در برگ با افزایش غلظت ازن در هوا کاهش می‌یابد. کاهش فتوسنتز اولین پاسخ به حضور ازن و حتی تنها پاسخ حاصل از تماس مزمم ازن با برگ‌ها است (Felzer et al., 2007). در برگ‌های گندم، ۲۰۰-۴۰۰ ppb گذردهی روزنے، به‌طور قابل توجهی کاهش داد (Farage et al., 1991). اگر چه، غلظت‌های زیاد ازن در عملکرد سلول‌های نگهبان روزنے اختلال ایجاد می‌کند، اما در غلظت‌های کم یعنی در حدود ۴۰ ppb که در شهر اصفهان معمولاً اتفاق می‌افتد، ازن فقط به صورت غیرمستقیم آن هم از طریق کاهش فتوسنتز سبب بسته‌ترشدن روزنے می‌شود (Wagg et al., 2013). درنتیجه، در غلظت‌های کم عامل دیگری به‌جز گذردهی روزنے سبب کاهش فتوسنتز می‌شود و آن کاهش نسخه‌برداری از روی ژن‌های آنزیم‌های فتوسنتزی مانند (Agrawal & Agrawal, 2000) روبیسکو است (Leitao و همکاران (2003) نشان داد بارزترین مطالعات تغییر پس از تماس مزمم با ازن کاهش فعالیت روبیسکو است. ازن علاوه بر آسیب به روزنے و تغییر بروز ژن‌ها از طریق افزایش تولید هورمون اتیلن بر محتوای کلروفیل (C_2H_4) گیاه تأثیر می‌گذارد. هورمون گیاهی اتیلن چندین وظیفه مانند ریزش برگ، پژمردگی برگ و جلوگیری از بلندشدن برگ بر عهده دارد (Yang et al., 2013) و طی فرایند پژمردگی برگ، کلروفیل تخریب می‌شود (Sakuraba et al., 2013).

پروسه‌های کاتابولیک در سلول ممکن است موجب کاهش غلظت کلروفیل شوند (Gan, 2005). فاکتورهای محیطی مانند نور، دما، خشکی، شرایط غرقابی، کمبود مواد غذایی خاک و تنفس‌های زیستی در فعل کردن ژن‌های تنظیم‌کننده خزان نقش دارند (Woo *et al.*, 2004). رنگدانه‌ها به آلاینده‌ای به خصوص پاسخ اختصاصی نمی‌دهند و انواع مختلف آلاینده‌ها و استرس‌های محیطی بر آن تأثیر می‌گذارد.

کلروزآهن، مقدار آب در دسترس، سایه درختان اطراف و ساختمان‌ها) با تأثیر بر محتوای کلروفیل اثر آلودگی هوا را پوشانده است. مولکول‌های کلروفیل در سلول در وضعیتی بسیار باثبات نگهداری می‌شوند و تحت انواع استرس ممکن است در چندین واکنش فتوشیمیایی مانند اکسیداسیون، کاهش، فوفویتیزاسیون^۱ و سفیدشدگی قابل بازگشت شرکت کنند (Sharma & Tripathi, 2009). تنفس‌های محیطی از طریق دیگر با فعال کردن ژن‌های تنظیم‌کننده خزان و آغاز

جدول ۴. میانگین و انحراف معیار و نتایج تجزیه واریانس نسبت مساحت تاج چنار (درصد) در ایستگاه‌ها و فصول مختلف

پارامتر	فصل	احمدآباد	بزرگمهر	لاله	آزادی	ANOVA
شفافیت تاج	بهار	۲۲/۵۶±۱۷/۵۴	۳۷/۲۷±۱۹/۰۸	۳۳/۱۱±۲۳/۵۹	۳۰/۱۸±۲۰/۱۷	ns
	تابستان	۱۷/۱۸±۱۰/۰۱	۲۱/۸۲±۱۲/۷۹	۲۵/۲۸±۷/۴۳	۲۲/۰۰±۹/۷۹	ns
	پاییز	۳۲/۱۳±۸/۳۲	۳۴/۱۳±۱۱/۸۲	۳۶/۷۵±۱۱/۳۴	۳۵/۵۴±۷/۳۶	ns
نسبت	بهار	۷۶/۶۲±۱۸/۴۳ ^{ab}	۷۲/۹۱±۱۹/۰۳ ^b	۸۱/۵۹±۱۸/۶۸ ^{ab}	۷۹/۲۱±۶/۰۵ ^a	P<۰/۰۵
	تابستان	۷۵/۰۳±۳/۹۳	۷۷/۰۸±۷/۱۱	۷۸/۹۳±۳/۱۵	۷۴/۱۸±۵/۱۳	ns
	پاییز	۷۳/۸۰±۷/۶۲	۷۶/۵۶±۶/۹۳	۷۷/۷۶±۷/۸۷	۷۵/۰۰±۷/۹۴	ns

ns غیرمعنادار؛ اعداد درون هر سطر با حروف یکسان تفاوت معناداری در سطح ۰/۰۵ توسط آزمون مقایسه میانگین‌ها نشان نمی‌دهند.

سلولی و ضخامت دیواره سلولی افزایش یافت و سبب کاهش سطح ویژه برگ شد. آن‌ها این مشاهدات را تغییرات ساختاری برگ برای محدود ساختن فعالیت گونه‌های واکنش‌پذیر اکسیژن حاصل از تماس طولانی مدت با ازن توصیف کردند. Pandey & Agrawal (1994) گیاهان ۴۵ روزه گوجه‌فرنگی^۳ را به مدت ۴ ساعت و برای ۵۰ روز در معرض SO_2 ۰/۱ ppm NO_2 ۰/۲ ppm + SO_2 ۰/۱ ppm و NO_2 ۰/۲ ppm مشاهده کرد سطح ویژه برگ ابتدا افزایش سپس با افزایش مدت تماس با آلودگی کاهش می‌یابد.

مونوکسید کربن جزء آلاینده‌های غالب در شهر اصفهان است و شواهدی که نشان بددهد برای گیاهان سمی است در دست نیست. اما احتراق ناقص در موتور خودروها که منبع انتشار اصلی آلاینده‌های موجود در اطراف خیابان‌های شهر است علاوه بر مونوکسید کربن عامل انتشار هیدروکربن‌های نسخته به اتمسفر است و انتظار می‌رود با مونوکسید کربن ارتباط بالایی نشان دهد. نتایج

۲.۴. سطح ویژه برگ

در بهار سطح ویژه برگ با افزایش غلظت آلاینده‌های ازن و دی‌اکسیدنیتروژن در هوا افزایش پیدا کرد. اما در فصول تابستان و پاییز با آن‌ها ارتباط معناداری نشان نداد. احتمالاً تماس کوتاه‌مدت با آلاینده‌های اکسنده هوا موجب نازک‌تر شدن برگ می‌شود. اما پس از مدتی، گیاه در پاسخ به آلاینده‌ها تغییرات ساختاری از خود نشان می‌دهد که این تغییرات ساختاری موجب مقاوم شدن برگ به حمله اکسیداسیونی می‌شود. Chappelka و همکاران (1988) نهال‌های لاله‌دار^۲ را تحت شرایط آزمایشگاهی در معرض سطوح مختلف ازن برای ۶ هفت‌ه قرار دادند و به طور مشابه، افزایش سطح ویژه برگ با افزایش آلودگی ازن را گزارش کردند. برخلاف آن‌ها، Laakso و همکاران (2006) دریافتند پاسخ گیاه به تماس طولانی مدت با ازن، کاهش سطح ویژه برگ است. آن‌ها نشان دادند پس از دو ماه تماس با ازن، قندهای دیواره

3. *Lycopersicon esculentum*

1. Pheophytisation
2. *Liriodendron tulipifera*

مطالعه‌ای مشابه، Gratani و همکاران (2000) صفات مورفولوژیک برگ بلوط لوبدار^۲ از جمله سطح ویژه برگ و ضخامت برگ در پاسخ به سطوح مختلف ترافیک در شهر رم را مطالعه کردند. Nikula و همکاران (2011) تغییرات سطح ویژه برگ در ۱۳ کلون از کبوته هیرید^۳ را در ارتباط با فاصله از خیابان مطالعه کردند و دریافتند سطح ویژه برگ با فاصله از خیابان افزایش می‌یابد.

این مطالعه نشان داد سطح ویژه برگ با مونواکسیدکربن ارتباط منفی نشان می‌دهد. به همین دلیل، عامل اثرگذار بر شاخص سطح ویژه برگ را می‌توان آلایینده‌های دیگری که به همراه مونواکسیدکربن از اگزوز خودروها خارج می‌شوند فرض کرد. Carreras و همکاران (1996) تغییرات سطح ویژه برگ در برگ نو^۱ را با سطح ترافیک در مناطق مختلف شهر کوردوبا در آرژانتین مرتبط دانست. در

جدول ۵. ضرایب همبستگی پیرسون آلایینده‌ها با پارامترهای گیاهی

فصل	O ₃	NO	NO ₂	PM ₁₀	SO ₂	CO
کلروفیل آ	۳۶/۰-	۳۲/۰	۲۱/۰-	۴۴/۰-	۲۲/۰-	۲۹/۰-
	۲۶/۰-	۳۳/۰	۰۴/۰-	۰۴/۰-	۲۴/۰-	۱۸/۰-
	۴۴/۰	**۶۹/۰-	۱۴/۰-	۳۴/۰-	۰۴/۰	۱۳/۰-
کلروفیل ب	۲۳/۰-	۱۳/۰	۱۶/۰-	۴۶/۰-	۴۱/۰-	۱۷/۰-
	۴۱/۰-	۴۲/۰	۱۳/۰-	۰۸/۰-	۳۶/۰-	۲۹/۰-
	۵۶/۰	**۷۲/۰-	۱۰/۰-	۴۲/۰-	۱۰/۰-	۱۸/۰-
سطح ویژه برگ	**۸۲/۰	۵۴/۰-	*۶۱/۰	۲۵/۰-	۲۸/۰-	**۷۳/۰-
	۱۰/۰	۱۵/۰-	۰۵/۰	۲۸/۰-	۳۲/۰-	۱۱/۰-
	۰۵/۰-	۱۱/۰-	۱۱/۰-	۴۴/۰-	۴۶/۰-	۰۳/۰
شفافیت تاج	۳۲/۰	۲۰/۰-	۲۲/۰-	۴۵/۰-	۳۴/۰-	۲۵/۰-
	۵۴/۰	۴۳/۰-	۳۵/۰	۴۷/۰-	۱۰/۰	۴۵/۰-
	۳۳/۰	۲۸/۰-	۱۷/۰	۲۴/۰-	۰۵/۰	۲۵/۰-
نسبت مساحت تاج	۱۴/۰	۵۳/۰-	۲۸/۰-	۱۰/۰-	۱۲/۰-	۱۲/۰-
	۵۵/۰	۱۲/۰-	*۶۰/۰	۱۶/۰-	۰۴/۰-	۵۵/۰-
	۳۱/۰	۱۹/۰-	۲۶/۰-	۲۶/۰-	۰۸/۰	۲۸/۰-

* معنadar در سطح ۰/۰۵؛ ** معنadar در سطح ۰/۰۱

جدول ۶. ماتریس همبستگی بین پارامترهای مختلف اندازه‌گیری شده در چنار

سطح ویژه برگ	کلروفیل آ	کلروفیل ب	نسبت مساحت تاج
۳۱/۰	۱		کلروفیل آ
۱۸/۰	**۹۰/۰	۱	
**۵۳/۰	۱۷/۰	۰۶/۰	
۳۲/۰-	**۶۳/۰-	*۴۲/۰-	

* معنadar در سطح ۰/۰۵؛ ** معنadar در سطح ۰/۰۱

نسبت مساحت تاج در تابستان با افزایش دی‌اکسیدنیتروژن افزایش یافت. با اینکه اکسیدهای

۳.۰.۴. شفافیت و نسبت مساحت تاج

شفافیت تاج ارتباطی با آلایینده‌های هوا نشان نداد. اما

2. Quercus ilex

3. Populus tremula L. x P. tremuloides Michx

1. Ligustrum lucidum Ait & Ligustrum lucidum Ait. f. tricolor

می‌گذاشت جای خود را به دی‌اکسید‌گوگرد و ازن داده است. با اینکه ازن مهم‌ترین آلاینده تأثیرگذار بر پوشش گیاهی محسوب می‌شود اما تأثیرگذارترین آلاینده بر معیارهای تنفس در اصفهان، دی‌اکسید‌نیتروژن بود. رنگدانه‌ها اگرچه به طور وسیع به عنوان معیار تنفس آلودگی هوا در مطالعات بی‌شمایر به کار رفته است، اما این پژوهش نشان داد در شرایط طبیعی و کنترل‌نشده نمی‌تواند به خوبی تنفس آلودگی هوا بر درختان را نشان دهد. با این حال، این شاخص با آلاینده نیتریک‌اکسید ارتباط معنادار نشان داد. در مقابل، شاخص سطح ویژه برگ معیار مناسبی از تماس گیاه با آلاینده‌های مختلف هوا خصوصاً در فصل بهار بود. علاوه بر آن، نسبت مساحت تاج بهتر از شفافیت تاج به آلودگی پاسخ داد و می‌تواند معیار مناسبی از تأثیر آلاینده دی‌اکسید‌نیتروژن بر درخت چنار باشد. این شاخص بهدلیل آسانی و سرعت اندازه‌گیری آن به وسیله دوربین عکاسی دیجیتال معمولی و نرم‌افزارهای پردازش تصویر موجود از پتانسیل بالایی برای کاربرد در مطالعات مربوط به آسیب انواع تنفس‌ها بر درختان برخوردار است. با توجه به نتایج به دست آمده از این مطالعه و مطالعات پیشین پیشنهاد می‌شود در تدوین استانداردهای هوای پاک آلاینده مونواکسید‌نیتروژن نیز بهدلیل تأثیر مهم آن بر روی گیاهان، در کنار آلاینده دی‌اکسید‌نیتروژن لاحظ شود.

REFERENCES

1. Agrawal, S.B., and Agrawal, M (2000) Environmental pollution and plant responses. Lewis publishers, 328pp.
2. Ahadi, S., Najafi, M.A. and Roshani, M (2011) Annual air quality report of Teheran in 2011, Technical report of Air Quality Control Co., No QM91/02/06(U)/01.
3. Alves, E.S., Tresmondi, F., and Longui, E.L (2008) Leaf anatomy of *Eugenia uniflora* L. (myrtaceae) in urban and rural environments, Sante Paulo state, Brazil. Análise estrutural de folhas de *Eugenia uniflora* L. (Myrtaceae) coletadas em ambientes rural e urbano, SP, Brasil 22: 241-248.
4. Arnon, D.I (1949) Copper enzyme in isolated chloroplast polyphenoloxidase in *Beta vulgaris*. *Plant Physiology*, 24: 1-15.
5. Badea, O., Tanase, M., Georgeta, J., Anisoara, L., Peiov, A., Uhlirova, H., Pajtik, J., Wawrzoniak, J., and Shparyk, Y (2004) Forest health status in the carpathian mountains over the period 1997-2001. *Environmental Pollution*, 130: 93-98.
6. Balasooriya, B.L.W.K., Samson, R., Mbikwa, F., Vitharana, U.W.A., Boeckx, P., and Van Meirvenne, M (2009) Biomonitoring of urban habitat quality by anatomical and chemical leaf characteristics. *Environmental and Experimental Botany*, 65: 386-394.
7. Bamniya, B.R., Kapoor, C.S., Kapoor, K., and Kapasya, V (2011) Harmful effects of air nitroso-nitrogen on plants. *Journal of Environmental Biology*, 32: 1-10.

nitroso-nitrogen on plants. *Journal of Environmental Biology*, 32: 1-10.

نیتروژن معمولاً یک آلاینده محسوب می‌شوند، مطالعات نشان می‌دهد گاهی دی‌اکسید‌نیتروژن در غلظت‌های کم یک منبع مفید نیتروژن برای گیاه است؛ خصوصاً زمانی که خاک از لحاظ نیتروژن فقیر است. Rowland و همکاران (1987) جوی کاشته شده به روش هیدروپوئیک را در معرض NO_2 ۳۰۰ ppb برای نه روز قرار دادند و برای تضمین ثابت‌ماندن نیتروژن وارد شده به ریشه، از ورود گاز دی‌اکسید‌نیتروژن به درون محلول غذایی جلوگیری کردند. آن‌ها دریافتند پاسخ به دی‌اکسید‌نیتروژن به وضعیت تغذیه‌ای گیاه بستگی دارد. افزایش معنادار در محتوای نیتروژن گیاه فقط در زمان فقر نیتروژن در محلول غذایی مشاهده شد. سپس آن‌ها با استفاده از ^{15}N نشان دادند نیتروژن حاصل از ورود دی‌اکسید‌نیتروژن به برگ از جوانه به ریشه انتقال یافته است. این مشاهده مغذی بودن دی‌اکسید‌نیتروژن در شرایط کمبود نیتروژن را تأیید می‌کند.

۴.۴. نتیجه‌گیری

نتایج این پژوهش نشان داد آلاینده‌های هوای شهر اصفهان به خصوص آلاینده‌های اکسنده مانند ازن، مونواکسید‌نیتروژن و دی‌اکسید‌نیتروژن بر معیارهای نشان‌دهنده سلامت چنار تأثیر می‌گذارد. امروزه بهدلیل بهبود کیفیت سوخت، آلودگی دی‌اکسید‌گوگرد که زمانی بیشترین تأثیر را بر پوشش گیاهی

- pollution on physiological activities of *Pongamia pinnata* (L.) Pierre. *Clean Technologies and Environmental Policy*, 14(1): 115-124.
8. Bell, J.N.B., and treshow, M (2003) Air pollution and plant life. In John Wiley and sons Ltd.
 9. Carreras, H.A., Casias, M.S., and Pignata, M.L (1996) Differences in responses to urban air pollutants by *Ligustrum lucidum* Ait. and *Ligustrum lucidum* Ait. f. tricolor (Rehd.) Rehd. *Environmental Pollution*, 93: 211-218.
 10. Chaparro-Suarez, I.G., Meixner, F.X., and Kesselmeier, J. (2011) Nitrogen dioxide (NO_2) uptake by vegetation controlled by atmospheric concentrations and plant stomatal aperture. *Atmospheric Environment*, 45: 5742-5750
 11. Chappelka, A.H., Chevone, B.I., and Seiler, J.R (1988) Growth and physiological responses of yellow-poplar seedlings exposed to ozone and simulated acidic rain. *Environmental Pollution*, 49: 1-18.
 12. Dobbertin, M., Hug, C., and Mizoue, N (2005) Using slides to test for changes in crown defoliation assessment methods part ii: Application of the image analysis system CROCO. *Environmental Monitoring and Assessment*, 102: 167-178.
 13. Farage, P.K., Long , S.P., Lechner, E.G., and Baker, N.R (1991) The sequence of change within the photosynthetic apparatus of wheat following short-term exposure to ozone. *Plant Physiology*, 95: 529-535.
 14. Felzer, B.S., Cronin, T., Reilly, J.M., Melillo, J.M. and Wang, X (2007) Impacts of ozone on trees and crops. *Comptes Rendus Geoscience*, 339: 784-798.
 15. Ferretti, M., Bonini, I., Bussotti, F., Celesti, C., Cenni, E., Chiarucci, A., Cozzi, A., De Dominicis, V., Grossoni, P., and Leonzio, C (1999) Short-term changes of response indicators of ecosystem status in broad leaved forests in Tuscany (central italy). *Water, Air, and Soil Pollution*, 116: 351-356.
 16. Gan, S (2005) Scenecence processes in plants. CRC press, 532pp.
 17. Gratani, L., Crescente, M.F., and Petruzzì, M (2000) Relationship between leaf life-span and photosynthetic activity of *Quercus ilex* in polluted urban areas (Rome). *Environmental Pollution*, 110: 19-28.
 18. Innes, J.L (1993) Methods to estimate forest health. *Silva Fennica*, 27: 145-157.
 19. Kardel, F., Wuyts, K., Babanezhad, M., Vitharana, U.W.A., Wuytack, T., Potters, G., and Samson, R (2010) Assessing urban habitat quality based on specific leaf area and stomatal characteristics of *Plantago lanceolata* L. *Environmental Pollution*, 158: 788-794.
 20. Laakso, K., Paoletti, E., and Huttunen, S (2006) Leaf morphology and gas exchange in holm oak (*Quercus ilex* L.) trees in different environments. *Ekologia Bratislava*, 25: 223-233.
 21. Lee, S.-M., Clark, N.A., and Araman, P.A (2003) Automated methods of tree boundary extraction and foliage transparency estimation from digital imagery. 19th Biennial Workshop on Color Photography, Videography and Airborne Imaging for Resource Assessment, Logan, Utah.
 22. Leitao, L., Goulas, P., and Biolley, J.P (2003) Time-course of Rubisco oxidation in beans (*Phaseolus vulgaris* L.) subjected to a long-term ozone stress. *Plant Science*, 165: 613-620.
 23. Lichtenthaler, H (1987) Chlorophyll and carotenoids: Pigments of photosynthetic biomembranes. *Methods in Enzymology*, 148: 251-282.
 24. Longe, S.P., and Naidu, S.L (2002) Effects of oxidants at the biochemical, cell and physiological levels, with particular reference to ozone. In Air pollution and plant life, J.N. Bell, b., and D.T. Tingey, (eds.), Chichester, Wiley.
 25. Mizoue, N., and Dobbertin, M (2004) Within country accuracy of tree crown transparency estimates using the image analysis system CROCO: A case study from Switzerland. *Environmental Modelling and Software*, 19: 1089-1095.
 26. Mizoue, N., Dobbertin, M., and Sugawara, D (2004) Operator errors in tree crown transparency estimates using the image analysis system CROCO. *Computers and Electronics in Agriculture*, 44: 247-254.
 27. Modrzynski, J. 2003. Defoliation of older norway spruce (*Picea abies* /L./ Karst.) stands in the polish sudety and carpathian mountains. *Forest Ecology and Management*, 181: 289-299.
 28. Nikula, S., Manninen, S., Vapaavuori, E., and Pulkkinen, P (2011) Growth, leaf traits and litter decomposition of roadside hybrid aspen (*Populus tremula* L.X *P. tremuloides* Michx.) clones. *Environmental Pollution*, 159: 1823-1830.
 29. Ozolincius, R., Stakenas, V., and Serafinaviciute, B (2005) Meteorological factors and air pollution in Lithuanian forests: Possible effects on tree condition. *Environmental Pollution*, 137: 587-595.

30. Pandey, J., and Agrawal, M (1994) Growth responses of tomato plants to low concentrations of sulphur dioxide and nitrogen dioxide. *Scientia Horticulturae*, 58: 67-76.
31. Procházková, D. and Wilhelmová N (2011) Nitric oxide, reactive nitrogen species and associated enzymes during plant senescence. *Nitric Oxide*, 24: 61-65.
32. Rowland, A.J., Drew, M.C., and Wellburn, A.R (1987) Foliar entry and incorporation of atmospheric nitrogen dioxide into barley plants of deferent nitrogen status. *New Phytologist*, 107: 357-371.
33. Sakuraba, Y., Kim, Y., Yoo, S.C., Hörtensteiner, S. and Paek, N.C (2013) 7-Hydroxymethyl chlorophyll a reductase functions in metabolic channeling of chlorophyll breakdown intermediates during leaf senescence. *Biochemical and Biophysical Research Communications*, 430: 32-37.
34. Sanz, M.J., Calatayud, V., and Calvo, E (2000) Spatial pattern of ozone injury in aleppo pine related to air pollution dynamics in a coastal-mountain region of eastern spain. *Environmental Pollution*, 108: 239-247.
35. Sarwat, M., Naqvi, A.R., Ahmad, P., Ashraf, M., and Akram, N.A (2013) Phytohormones and microRNAs as sensors and regulators of leaf senescence: Assigning macro roles to small molecules. *Biotechnology Advances*, 31(8): 1153-1171.
36. Service, U.F (2002) Phase 3 field guide - crowns: Measurements and sampling. USDA forest service.Url:
<Http://fia.Fs.Fed.Us/library.Htmmanuals>, (last date accessed: 3 november 2003).
37. Sharma, A.P., and Tripathi, B.D (2009) Biochemical responses in tree foliage exposed to coal-fired power plant emission in seasonally dry tropical environment. *Environmental Monitoring and Assessment*, 158: 197-212.
38. Thimann, K.V (1983) Senescence in plants. CRC press, 456pp.
39. Wagg, S., Mills, G., Hayes, F., Wilkinson, S., and Davies, W.J (2013) Stomata are less responsive to environmental stimuli in high background ozone in *Dactylis glomerata* and *Ranunculus acris*. *Environmental Pollution*, 175: 82-91.
40. Woo, H.R., Lim, P.O., Nam, H.G., and Noodén, L.D (2004) Genes that Alter Senescence. in Plant Cell Death Processes, Nooden, L.D (eds.), Academic Press, 73-87.
41. Yang, X., Song, J., Campbell-Palmer, L., Fillmore, S., and Zhang, Z (2013) Effect of ethylene and 1-MCP on expression of genes involved in ethylene biosynthesis and perception during ripening of apple fruit. *Postharvest Biology and Technology*, 78: 55-66.
42. Zierl, B (2004) A simulation study to analyse the relations between crown condition and drought in switzerland. *Forest Ecology and Management*, 188: 25-38.